

УДК 532.5 + 535.211

© 2004 г. А. Н. КУЧЕРОВ

ПРОСВЕТЛЕНИЕ ТОНКОГО ПОГЛОЩАЮЩЕГО СЛОЯ ЖИДКОСТИ ИМПУЛЬСОМ ЛАЗЕРНОГО ИЗЛУЧЕНИЯ

Исследован эффект просветления сильно поглощающей жидкости коротким лазерным импульсом при различной толщине слоя в предположении постоянства квантово-механических и оптических удельных (на одну молекулу) свойств жидкости. Получены распределения основных параметров жидкости: плотности, температуры, давления, внутренней энергии, скорости – и интенсивности излучения по времени и в пространстве. Для зависимости функции прозрачности воды от энергии импульса установлено удовлетворительное соответствие теоретических результатов экспериментальным данным. Исследовано взаимодействие с водой пучков с гауссовым и кольцевым поперечными распределениями интенсивности. Показано, что эксперименты с кольцевыми распределениями могут дать еще одно подтверждение гидродинамическому механизму просветления жидкости лазерным пучком.

Ключевые слова: вода, лазерный импульс, уменьшение плотности, просветление, прозрачность.

В серии экспериментов [1–7] обнаружен [1] и исследовался эффект просветления сильно поглощающих жидкостей (вода, глицерин, этанол) короткими лазерными импульсами с длиной волны, расположенной вблизи максимума коэффициента поглощения воды $\lambda = 2.79$ и 2.94 мкм, длительностью $\tau = 10^{-6} - 10^{-10}$ с, с энергией до $E_{in} = 20$ мДж. Эффект заключается в увеличении прозрачности (пропускания излучения) жидкости с ростом энергии и интенсивности импульса. Наблюдались высокие температуры $T > 2000$ К, давления $p \sim 30$ кбар, изменения показателя преломления от 1.333 до 1.1. Рассматривалось несколько возможных механизмов, объясняющих эффект просветления: насыщение поглощения, фазовый переход жидкость-пар, сдвиг спектра поглощения из-за разрыва водородных связей, уширение полосы поглощения. Обсуждалась возможность (невозможность) уменьшения плотности за счет выноса вещества из облучаемой зоны. Впервые теоретически уменьшение плотности жидкости в зоне облучения более чем на порядок показано в [8]. Получено удовлетворительное соответствие теоретических результатов с экспериментальными данными для функции прозрачности в некоторых интервалах энергии, интенсивности и длительности импульса лазерного пучка, температур и давлений жидкости. Гидродинамический механизм уменьшения плотности и, как следствие, коэффициента поглощения несомненно присутствует в рассматриваемом эффекте просветления. Исследование гидродинамических и термодинамических характеристик жидкости позволит выделить ситуации (если они есть), в которых изменение квантово-механических характеристик молекул играет определяющую роль в эффекте просветления.

1. Постановка задачи. Рассматривается тонкий слой сильно поглощающей жидкости микронной толщины $L \leq \lambda \sim 3$ мкм, расположенный между прозрачными для излучения кварцевыми пластинами. Перпендикулярно пластинам подается импульс лазерного излучения, сфокусированного на слой жидкости, с гауссовым поперечным рас-

пределием $g(r) = \exp[-(r/r_0)^2]$, где r_0 – экспоненциальный радиус фокального пятна. Форму импульса по времени задавали двумя способами

$$f(t) = \begin{cases} C_1 \frac{t}{\tau}, & 0 \leq t \leq t_1 = \frac{\tau}{k}; \quad k = 2-5, \quad C_1 = 2k(k^{-1} + \sqrt{\pi C_3^{-1}})^{-1} \\ C_2 \exp\left[-C_3 \left(\frac{t-t_1}{\tau}\right)^2\right], & t > t_1; \quad C_2 = \frac{C_1}{2}, \quad C_3 = \frac{\ln 2}{(1-0.5/k)^2} \end{cases} \quad (1.1)$$

$$f(t) = C_1 \begin{cases} \exp\left[-C_2 \left(\frac{t-t_1}{\tau}\right)^2\right], & 0 \leq t \leq t_1 = 1.273\tau, \quad C_2 = \frac{\ln 2}{((t_2-t_1)/\tau)^2} \\ \exp\left[-C_3 \left(\frac{t-t_1}{\tau}\right)^2\right], & t > t_1; \quad C_3 = \frac{\ln 2}{((t_3-t_1)/\tau)^2}, \quad t_3 = 1.848\tau \end{cases} \quad (1.2)$$

$$C_1 = \frac{2}{\sqrt{\pi} 1/\sqrt{C_3} + 1/\sqrt{C_2}}, \quad t_2 = 0.848\tau$$

Здесь τ – длительность импульса, k – числовой параметр. Вторая форма импульса $f(t)$ соответствует приведенной в [1] на фиг. 3. Нагрев и разлет жидкости описывается нестационарными уравнениями Навье – Стокса [9–11] и уравнением состояния [12–15] для воды

$$\frac{\partial \rho}{\partial t} + \frac{1}{r} \frac{\partial}{\partial r}(r\rho u) + \frac{\partial}{\partial z}(\rho w) = 0 \quad (1.3)$$

$$\begin{aligned} & \frac{\partial \rho u}{\partial t} + \frac{1}{r} \frac{\partial}{\partial r}(r\rho u^2) + \frac{\partial}{\partial z}(\rho u w) + \frac{\partial p}{\partial r} = \\ & = \frac{1}{r} \left\{ \frac{\partial}{\partial r} \left[2r\mu \frac{\partial u}{\partial r} + \mu_3 \left(\frac{\partial r u}{\partial r} + \frac{\partial r w}{\partial z} \right) \right] + \frac{\partial}{\partial z} \left[r\mu \left(\frac{\partial u}{\partial z} + \frac{\partial w}{\partial r} \right) \right] \right\} - \frac{2\mu u}{r^2} - \frac{\mu_3}{r^2} \left(\frac{\partial r u}{\partial r} + \frac{\partial r w}{\partial z} \right) \end{aligned} \quad (1.4)$$

$$\begin{aligned} & \frac{\partial \rho w}{\partial t} + \frac{1}{r} \frac{\partial}{\partial r}(r\rho u w) + \frac{\partial}{\partial z}(\rho w^2) + \frac{\partial p}{\partial z} = \\ & = \frac{1}{r} \left\{ \frac{\partial}{\partial r} \left[r\mu \left(\frac{\partial u}{\partial z} + \frac{\partial w}{\partial r} \right) \right] + \frac{\partial}{\partial z} \left[2r\mu \frac{\partial w}{\partial z} + \mu_3 \left(\frac{\partial r u}{\partial r} + \frac{\partial r w}{\partial z} \right) \right] \right\} \end{aligned} \quad (1.5)$$

$$\begin{aligned} & \frac{\partial \rho E}{\partial t} + \frac{1}{r} \frac{\partial}{\partial r}[r u (\rho E + p)] + \frac{\partial}{\partial z}[w (\rho E + p)] = \alpha_0 \frac{\rho(r, z, t)}{\rho_0} I(r, z, t) + \frac{1}{r} \left\{ \frac{\partial}{\partial r} [r\mu \frac{\partial h}{\partial r}] + \right. \\ & + \frac{\partial}{\partial z} [r\mu \frac{\partial h}{\partial z}] + \frac{\partial}{\partial r} [2r\mu u \frac{\partial u}{\partial r} + \mu_3 u \left(\frac{\partial r u}{\partial r} + \frac{\partial r w}{\partial z} \right)] + r\mu w \left(\frac{\partial u}{\partial z} + \frac{\partial w}{\partial r} \right) + \\ & \left. + \frac{\partial}{\partial z} [r\mu u \left(\frac{\partial u}{\partial z} + \frac{\partial w}{\partial r} \right) + 2r\mu w \frac{\partial w}{\partial z} + \mu_3 w \left(\frac{\partial r u}{\partial r} + \frac{\partial r w}{\partial z} \right)] \right\} \end{aligned} \quad (1.6)$$

$$p = p(\varepsilon, \rho)$$

$$E = \varepsilon + \frac{u^2 + w^2}{2}, \quad h = \varepsilon + \frac{p}{\rho}, \quad dh = C_p dT, \quad \mu_3 = \mu_2 - \frac{2\mu}{3} \quad (1.7)$$

Здесь t – время, r, z – координаты поперек и по ходу пучка, u, w – компоненты скорости, ϵ, h – внутренняя энергия и энтальпия на единицу массы жидкости, C_p – теплоемкость при постоянном давлении, T – температура, $Pr = \nu/\chi$ – число Прандтля, $\chi, \nu, \mu = \rho\nu$ – коэффициенты температуропроводности, кинематической и динамической вязкости, μ_2 – объемная или вторая вязкость (приняли $\mu_2 = \mu$); ρ, ρ_0 – плотность и ее начальное значение; α_0 – начальный коэффициент поглощения (при $\lambda = 2.94$ и 2.79 мкм имеем $\alpha_0 = 1.28 \cdot 10^6$ и $0.516 \cdot 10^6 \text{ м}^{-1}$ [5]), I – интенсивность излучения. Предполагается постоянство квантово-механических и оптических удельных (на одну молекулу) свойств жидкости. Это означает, что нелинейный в общем случае коэффициент поглощения излучения в главном приближении пропорционален плотности среды

$$\alpha = \alpha_0 \frac{\rho(r, z, t)}{\rho_0} \quad (1.8)$$

Уравнение состояния (1.7) выберем в виде связи функции давления $p(\rho, T)$ и внутренней энергии $\epsilon(\rho, T)$ с функцией свободной энергии $F(\rho, T)$ [15, 16]

$$p = \rho^2 \left(\frac{\partial F}{\partial \rho} \right)_T, \quad \epsilon = F - T \left(\frac{\partial F}{\partial T} \right)_\rho \quad (1.9)$$

Например, для воды имеется уравнение, рекомендуемое [15]

$$F = \frac{p_*}{\rho_*} [F_0(T) + F_1(T, \rho) + F_2(T, \rho) + F_3(T, \rho) + F_4(T, \rho)] \quad (1.10)$$

$$F_0 = \left(F_{00} + F_{01} \frac{T}{T_*} \right) \ln \frac{T}{T_*} + \sum_{i=2}^{17} F_{0i} \left(\frac{T}{T_*} \right)^{i-4}$$

$$F_1 = \frac{\rho}{\rho_*} \sum_{i=0}^4 F_{1i} \left(\frac{T_*}{T} \right)^{i-1}, \quad F_2 = F_{20} \frac{T}{T_*} \left[\ln \frac{\rho/\rho_*}{1-y} - \frac{130}{3(1-y)} + \frac{169}{6(1-y)^2} - 14y \right]$$

$$y = \frac{\rho}{\rho_*} \left[y_0 + y_1 \ln \frac{T}{T_*} + y_2 \left(\frac{T_*}{T} \right)^3 + y_3 \left(\frac{T_*}{T} \right)^5 \right]$$

$$F_3 = \sum_{i=0}^{35} F_{3i} \left(\frac{T_*}{T} \right)^{l(i)} z^{k(i)}, \quad z = 1 - \exp \left[-z_0 \frac{\rho}{\rho_*} \right]$$

$$F_4 = \sum_{i=0}^3 F_{4i} \delta_i^{n(i)} \exp[-a_i \delta_i^{m(i)} - b_i \tau_i^2], \quad \delta_i = \frac{\rho}{\rho_i} - 1, \quad \tau_i = \frac{T}{T_i} - 1$$

Здесь ρ_*, p_*, T_* – значения плотности, давления и температуры в критической точке. Значения коэффициентов $F_{ij}, y_i, z_0, l(i), k(i), n(i), m(i), a_i, b_i, \rho_i, T_i$ приведены в [15]. Для контроля использовали табличные и графические данные, полученные с помощью [12].

Начальные условия

$$t = 0: u = 0, \quad w = 0, \quad \rho = \rho_0, \quad \epsilon = \epsilon_0, \quad p = p_0, \quad T = T_0 \quad (1.11)$$

Краевые условия

$$r = 0: u = 0 = \frac{\partial \rho}{\partial r} = \frac{\partial w}{\partial r} = \frac{\partial \epsilon}{\partial r} = \frac{\partial p}{\partial r} \quad (1.12)$$

$$z = 0; \quad z = L: w = 0, \quad u = 0, \quad T = T_w \quad (\text{или } \partial T / \partial z = 0) \quad (1.13)$$

Для анализа возможных вариантов и построения решения удобно выполнить обезразмеривание. Отнесем время t к длительности лазерного импульса τ , координату r – к экспоненциальному радиусу r_0 , координату z – к длине трассы (толщине слоя жидкости) L ; плотность ρ , давление p , температуру T – к значениям в критической точке $\rho_* = 317.76 \text{ кг/м}^3$, $p_* = 221.15 \text{ бар}$, $T_* = 647.15 \text{ К}$ (для воды), функцию E – к $\epsilon_* = 2.026 \text{ МДж/кг}$; компоненты скорости u , w – к характерным значениям $u_0 = r_0/\tau$, $w_0 = L/\tau = u_0(L/r_0)$; коэффициент динамической вязкости μ – к его значению $\mu_0 = 6.44 \cdot 10^{-5} \text{ кг/(м} \cdot \text{с)}$ при температуре $T = 644 \text{ К}$, близкой к критической [12]. Отметим, что в случае турбулизации течения жидкости коэффициенты, характеризующие процессы переноса (теплопроводность, вязкость), могут возрасти на несколько порядков. Не вводя специальных обозначений для безразмерных величин, получим систему уравнений с нижеследующими параметрами подобия:

$$\text{Re} = \frac{\rho_* u_0 r_0}{\mu_0}, \quad \text{Eu} = \frac{p_*}{\rho_* u_0^2}, \quad \text{Re}_L = \frac{\rho_* w_0 L}{\mu_0} = \text{Re} \left(\frac{L}{r_0} \right) \quad (1.14)$$

$$\text{Pe}_L = \text{Re}_L \text{Pr}, \quad \text{Pe} = \text{RePr}, \quad A_1 = \frac{u_0^2}{\epsilon_*}, \quad A_2 = \frac{p_*}{\rho_* \epsilon_*} = 0.03436, \quad Q = \frac{\alpha I_0 \tau}{\rho_0 \epsilon_*}$$

Здесь Eu – число Эйлера, Q – параметр теплоподвода, $I_0 = E_{\text{in}}/(\pi r_0^2 \tau)$ – характерная интенсивность излучения, E_{in} – энергия импульса на входе в среду, Re , Re_L , Pe , Pe_L – числа Рейнольдса и Пекле по поперечному и продольному направлениям. Функция суммы удельных внутренней и кинетической энергии E и энтальпия h запишутся

$$E = \epsilon + A_1 \left[\frac{u^2}{2} + \frac{w^2}{2} \left(\frac{L}{r_0} \right)^2 \right], \quad h = \epsilon + A_2 \frac{p}{\rho} \quad (1.15)$$

В настоящей работе рассматриваются ситуации, в которых $\text{Eu} \sim 1$, и варьируется параметр теплоподвода $Q \approx 0-50$. Таковы были условия экспериментов по просветлению воды гигантским импульсом [1, 5] длительностью $\tau = 1.2 \text{ мкс}$, с экспоненциальным радиусом $r_0 = 252 \text{ мкм}$, толщиной слоя $L = 3.056 \text{ мкм}$ и энергией импульса $E_{\text{in}} = 0-13 \text{ МДж}$: $u_0 = 210 \text{ м/с}$, $\text{Eu} = 1.578$, $Q \approx 0-41$. Ввиду того что толщина слоя L значительно меньше дифракционной длины $2\pi r_0^2/\lambda$, излучение распространяется по законам лучевой геометрической оптики, интенсивность убывает экспоненциально:

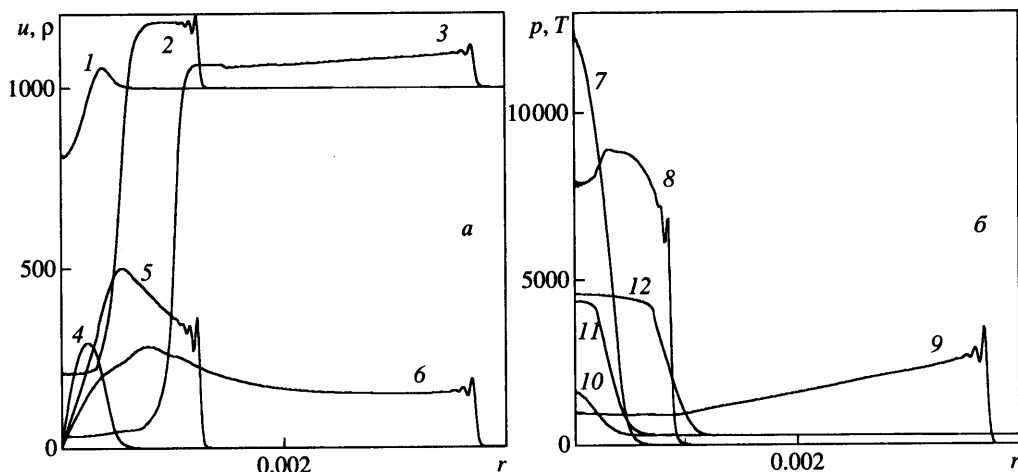
$$I(r, z, t) = f(t)g(r)\exp[-N_\alpha z\rho(r, z, t)], \quad g(r) = \exp(-r^2) \quad (1.16)$$

где $N_\alpha = \alpha_0 L \rho_* / \rho_0$ – параметр поглощения или оптической толщины слоя.

Отметим, что толщина слоя мала по сравнению с поперечным размером лазерного пучка [1, 5]: $L \ll r_0$. В этом случае из обезразмеренного уравнения сохранения продольной по лучу компоненты количества движения (1.5) следует, что давление постоянно по продольной координате z с погрешностью $(L/r_0)^2$. С учетом нулевого начального условия из (1.12) приходим к выводу, что в главном приближении продольная компонента скорости тождественно равна нулю: $w = 0$.

Рассмотрим сначала оптически тонкий слой $N_\alpha \ll 1$, в котором функция теплоподвода $I(r, t)$ в уравнении сохранения энергии (1.6) зависит только от одной координаты r . Производные по продольной координате малы $\partial/\partial z \sim L/r_0 \ll 1$. Тогда функции E и u также не зависят от продольной координаты z , за исключением тонкого пограничного слоя вблизи кварцевых пластин, толщина которого значительно меньше L .

Далее покажем, что различные варианты этого приближения дают удовлетворительное соответствие экспериментальным данным для функции пропускания излуче-



Фиг. 1. Распределения параметров по поперечной координате r , м, в различные моменты времени: $a-1-3$ – плотность ρ , $кг/м^3$, $4-6$ – скорость u , $м/с$; $b-7-9$ – давление p , бар, $10-12$ – температура T , $К$; $t = 0.18$ мкс (кривые $1, 4, 7, 10$), 0.419 мкс (кривые $8, 11$), 0.6 мкс ($2, 5$), 1.904 мкс (кривые $3, 6, 9, 12$) при $Q = 41.14$ ($E_{in} = 13$ мДж), $Eu = 1.578$, $T_{tr,0} = 0.9$

ния $T_{tr} = E_{out}/E_{in}$, где E_{out} – энергия импульса на выходе из кюветы с жидкостью, хотя в экспериментах параметр оптической толщины не мал: $N_{\alpha} = 0.318$ [5].

2. Приближение оптически тонкого слоя. Функцию тепловыделения на единицу массы $q(r, z, t) = Qf(t)g(r)\exp[-zN_{\alpha}\rho(r, z, t)]$ запишем, выполнив усреднение поперек слоя, в виде

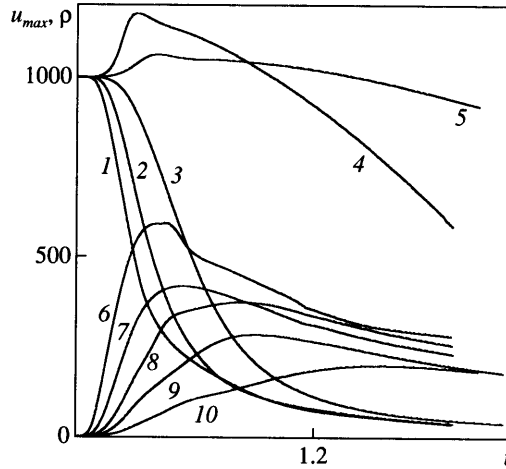
$$q(r, t) = Qf(t)g(r)\varphi(r, t), \quad \varphi(r, t) = \int_0^1 e^{-N_{\alpha}z\rho(r, z, t)} dz \approx \frac{1 - e^{-N_{\alpha}\rho_{av}(r, t)}}{N_{\alpha}\rho_{av}(r, t)} \quad (2.1)$$

Здесь $\rho_{av}(r, t)$ – средняя или эффективная функция плотности (далее – просто $\rho(r, t)$). При $N_{\alpha} \ll 1$ функция $\varphi(r, z, t) \rightarrow 1$ и предположение о независимости функции тепловыделения от z строго выполнено. Пусть начальное пропускание среды $T_{tr,0} = 0.9$, тогда $L = [\ln(1/T_{tr,0})]/\alpha_0 = 0.0823$ мкм и $N_{\alpha} = 0.0334$ ($\lambda = 2.94$ мкм, $\alpha_0 = 1.28 \cdot 10^6$ м $^{-1}$). Полагая $w = 0$, $\partial/\partial z = 0$, получим решение задачи (1.3)–(1.7). Приняты следующие начальные условия: $T_0 = 293$ К, $\rho_0 = 998$ кг/м 3 , $p_0 = 1883$ Н/м 2 , $\epsilon_0 = 82580$ Дж/кг, $u = 0$.

Решение получено численно методом крупных частиц [11], допускающим сквозной счет без выделения областей (поверхностей и линий) разрыва искомым функций – ударных волн или скачков уплотнения. Шаг по координате Δr составлял 0.05, по времени – $\Delta t = 2 \cdot 10^{-3} - 1.25 \cdot 10^{-4}$, расчетная сеточная область $-0 < r/r_0 < 400\Delta r = 20$, $0 < t/\tau < 3$, форма импульса по времени (1), числа Re , $Pe \gg 1$.

На фиг. 1 показаны распределения по координате r плотности ρ , скорости u , давления p и температуры T . Параметр тепловыделения $Q = 41.14$ ($E_{in} = 13$ мДж). Для функции внутренней энергии $\epsilon(r, t)$ распределения по пространству такие же, как для температуры. Нагрев на начальном этапе сопровождается быстрым ростом температуры, внутренней энергии и давления. Максимальные значения наблюдаются там, где максимальна интенсивность излучения, т.е. в центре при $r = 0$ в случае гауссова пучка.

Под действием сил давления жидкость приходит в движение в направлении от области максимума функций T, ϵ, p , плотность в области максимального нагрева начинает



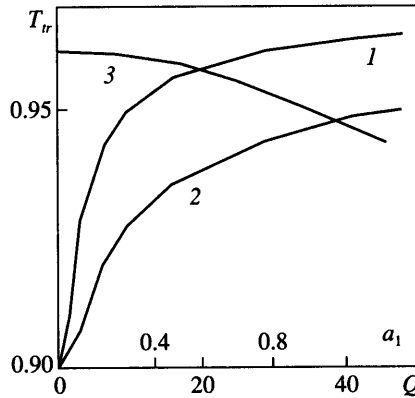
Фиг. 2. Изменения по времени t , мкс плотности в центре ρ , кг/м^3 (кривые 1–5) и максимальной скорости u_{max} , м/с (кривые 6–10) при различных значениях параметра теплоподвода, начальной прозрачности среды и поперечном распределении интенсивности: 1, 6 – гауссово распределение при $T_{tr,0} = 0.9$, $Q = 41.1$ ($E_{in} = 13$ мДж); 2, 7 – гауссово и 4, 9 – кольцевое распределения при $T_{tr,0} = 0.9$, $Q = 15.8$ ($E_{in} = 5$ мДж); 3, 8 – гауссово и 5, 10 – кольцевое распределения при $T_{tr,0} = 0.02$, $Q = 15.8$ ($E_{in} = 5$ мДж)

понижаться. К концу импульса плотность в центре понижается почти на два порядка. Вне пучка вследствие движения жидкости плотность увеличивается. Ее максимальный рост составляет около 20%. В некоторый момент скорость фронта движущейся жидкости начинает превышать скорость звука, возникает ударная волна, за которой параметры изменяются скачком. Ударная волна хорошо видна на фиг. 1 как область больших градиентов физических величин – плотности ρ , скорости u , давления p . Температура T в ударной волне меняется всего на несколько градусов. Координате резкого убывания температуры и внутренней энергии (фиг. 1, б, 12) соответствует край “воронки” пониженной плотности (фиг. 1, а, 3).

На фиг. 2 представлены изменения во времени плотности жидкости в центре пучка и максимальной (по пространству) скорости $u_{max}(t) = \max[u(r, t)]$. Сопоставление кривых 1 и 2 для плотности и кривых 6 и 7 для скорости дает представление об изменении физических величин при увеличении параметра теплоподвода Q (энергии импульса E_{in}) более чем в 2.5 раза.

Кривые 3 и 8 демонстрируют, как изменяется ситуация в случае оптически толстой среды, при $T_{tr,0} = 0.02$. Сравнение с экспериментальными данными показало (см. далее фиг. 7), что рассматриваемое приближение оптически тонкого слоя, с поправкой $\phi(r, t)$ на затухание интенсивности тепловыделения в удаленных (по ходу излучения) слоях жидкости по сравнению с более близкими к источнику лазерного излучения, дает удовлетворительное описание функции прозрачности с погрешностью в несколько процентов в диапазоне $Q = 19\text{--}48$ ($E_{in} = 6\text{--}15$ мДж). Качественно верное описание процесса просветления имеем во всем рассматриваемом диапазоне энергии импульса. Кривые 4, 5 и 9, 10 описывают варианты кольцевого распределения интенсивности, которое подробнее рассматривается в следующем разделе.

Заметим, что функция $\phi(r = 0, t)$ для варианта оптически плотной среды (при $T_{tr,0} = 0.02$) изменяется от значения 0.25 в начале до 0.9–0.92 к концу импульса, при $t > 2$ мкс. В случае оптически тонкой среды (при $T_{tr,0} = 0.9$) функция $\phi(r = 0, t)$ от значения 0.9 очень быстро ($\Delta t \approx 0.5t$) выходит на единицу.



Фиг. 3. Прозрачность тонкого слоя воды T_{tr} в зависимости от параметра тепловыделения: кривые 1, 2 – гауссово и кольцевое распределения ($a_1 = r_1/r_0 = 0.909$), 3 – зависимость T_{tr} от радиуса отверстия $a_1 = 0-0.909$ ($Q = 28.5$, $E_{in} = 9$ мДж); начальное пропускание $T_{tr,0} = 0.9$, $Eu = 1.578$, форма импульса по времени (1.1)

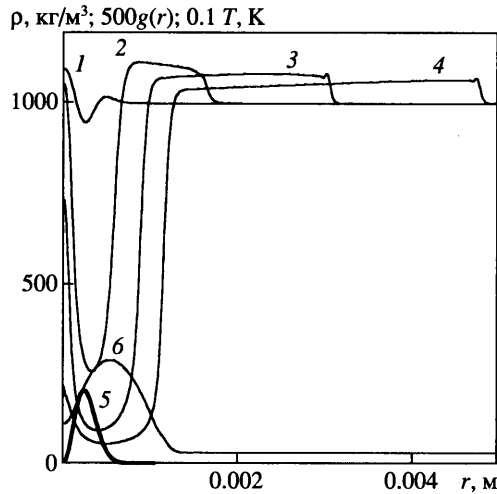
3. Кольцевое распределение интенсивности. Кольцевое распределение может уменьшить эффект просветления по сравнению с гауссовым распределением интенсивности. Примем функцию поперечного распределения интенсивности в виде

$$g(r) = \left(\exp[-r^2] - \exp\left[-\left(\frac{r}{a_1}\right)^2\right] \right) (1 - a_1^2)^{-1} \quad (3.1)$$

Здесь r_1 , $a_1 = r_1/r_0$ – физический и относительный размер отверстия кольца. Функция $g(r)$ нормирована к единице, чтобы можно было рассматривать и сравнивать импульсы равной энергии при гауссовом и кольцевом поперечных распределениях интенсивности излучения. На фиг. 3 представлены зависимости функции пропускания T_{tr} от параметра теплоподвода Q (от энергии пучка E_{in}) для гауссова (кривая 1) и кольцевого (2) распределения. Кривая 3 описывает зависимость функции прозрачности от радиуса отверстия кольца при $Q = 28.5$ ($E_{in} = 9$ мДж).

Уменьшение прозрачности с ростом радиуса отверстия кольца r_1 объясняют распределения плотности ρ и температуры T в различные моменты времени, представленные на фиг. 4. Там же показано поперечное распределение интенсивности I (кривая 5 – безразмерная функция $g(r)$, масштаб увеличен). Максимум температуры T смещен во внешнюю область от кольца – максимума распределения интенсивности излучения. Увеличение плотности воды происходит в начальный интервал времени в обе стороны от кольца (от максимума интенсивности). Затем плотность в центре начинает убывать. На протяжении всего импульса плотность в центре выше, чем в случае гауссова распределения (см. кривые 4, 5 на фиг. 2). Минимум плотности находится не в центре, а во внешней части кольца распределения интенсивности. Его положение соответствует расположению максимума температуры.

Образовавшийся в результате поглощения излучения канал пониженной плотности имеет радиус, существенно больший, чем радиус кольца интенсивности. Несовпадение кольца минимума плотности (максимума прозрачности среды) с кольцом максимума интенсивности излучения приводит к тому, что эффект просветления в случае кольцевого распределения значительно ниже, чем при гауссовом. Особенно велика разница для оптически толстого слоя, как показывает сравнение кривых 2 и 4 на фиг. 7. Если эффект просветления обусловлен не наличием канала пониженной плотности, разли-



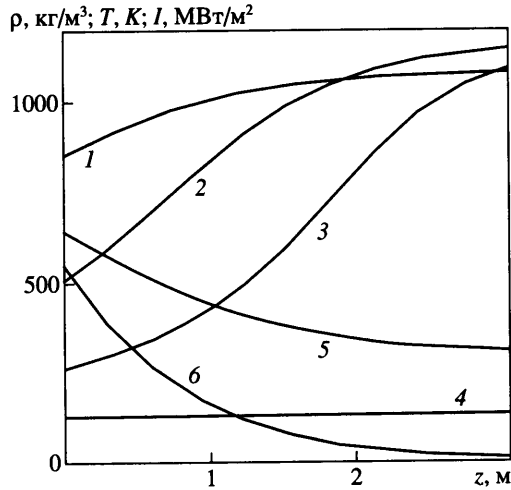
Фиг. 4. Распределения по координате r плотности $\rho(r, t)$ в различные моменты времени: 1–4 – $t = 0.238, 0.96, 1.2, 2.82$ мкс; функции $g(r)$ (кр. 5) и температуры T (6, $t = 2.82$ мкс); параметр $Q = 47.5$ (энергия импульса $E_{in} = 15$ мДж), начальное пропускание $T_{tr,0} = 0.02$, число $Eu = 1.578$, форма импульса по времени (1.1)

чие между вариантами гауссова и кольцевого пучка будет отсутствовать или же будет существенно меньше (при одинаковой энергии импульса). Таким образом, эксперимент с кольцевым пучком может дать еще одно подтверждение гидродинамическому механизму просветления воды лазерным импульсом в рассматриваемых условиях.

4. Двумерная задача с учетом ослабления излучения по глубине слоя жидкости. Рассмотрим двумерный слой, в котором параметры излучения и жидкости меняются по координате z . Ввиду того что продольный по лучу размер L значительно меньше поперечного r_0 , из уравнения сохранения продольной компоненты количества движения (1.5) следует, что $(\partial p / \partial z) = 0$ и $w = 0$. Функция энергии E и радиальная поперечная к пучку компонента скорости u зависят от z . Отметим, что использование условий (1.14) теплоизоляции или температуры поверхности T_w , соответствующей температуре прилегающей жидкости, дало отличие менее 10%. Основные результаты приведены для последнего случая.

Скорость звука составляет $1.5 \cdot 10^3$ м/с, давление выравнивается в продольном направлении за время t_a , очень короткое по сравнению с длительностью импульса излучения τ : $t_a \sim L/a \sim 2 \cdot 10^{-9}$ с $\ll \tau = 1.2 \cdot 10^{-6}$ с. Амплитуда роста давления очень велика, давление достигает значения $p \sim 1$ ГПа. Продольные по ходу излучения акустические волны, многократно отражаясь от кварцевых стенок кюветы, возмущают жидкость, турбулизуют ее, вследствие чего интенсивность процессов переноса (теплопроводности, вязкости, диффузии) может существенно возрасти. Сравнение с экспериментальными данными по пропусканию излучения подтверждает описанную физическую картину процесса нагрева и просветления жидкости. Турбулентное число Прандтля принято равным 1.

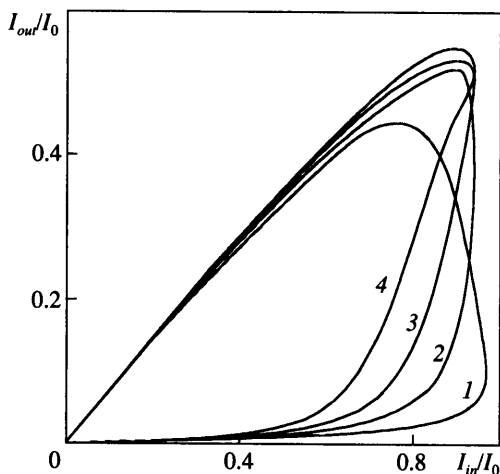
Шаг по продольному направлению Δz при построении решения выбрали равным 0.1–0.05. Решения были получены для условий эксперимента [5], длительность гигантского импульса $\tau = 1.2$ мкс; размеры облучаемого объема жидкости $r_0 = 252$ мкм, $L = 3.056$ мкм; длина волны $\lambda = 2.94$ мкм, коэффициент поглощения $\alpha_0 = 1.28 \cdot 10^6$ м $^{-1}$. Принята форма импульса по времени (1.2) и, для отдельных вариантов – (1.1).



Фиг. 5. Изменения по координате z плотности ρ в центре пучка ($r = 0$ м) в различные моменты времени: кривые 1–4 – $t = 0.718, 0.974, 1.20, 1.76$; 5 и 6 – температура T и интенсивность излучения I в момент $t = 0.718$ мкс, $Q = 25.3$ ($E_{in} = 8$ мДж), $T_{tr,0} = 0.02$, $Eu = 1.578$, $Re_L = 1$, форма импульса по времени (1.2)

На фиг. 5 приведены продольные по лучу распределения плотности ρ , температуры жидкости T и интенсивности излучения I в интервале времени $t = 0.718$ – 1.76 мкс. Выравнивание внутренней энергии ϵ , температуры T и плотности ρ вдоль оси z происходит к моменту $t = 1.76$ мкс с разницей на краях $z/L = 0$ и 1 в несколько процентов, интенсивность излучения I падает по толщине слоя $\Delta z = L$ на величину около 25% при $t = 2.44$ мкс. В начальный интервал времени 0–1 мкс плотность жидкости у задней стенки кюветы превышает первоначальную, нагрев не происходит из-за эффекта затенения, в то же время давление быстро повышается по всей толщине из-за нагрева ближней к излучению части слоя жидкости. Внутренняя энергия и температура жидкости у задней стенки кюветы убывают. Если турбулентная теплопроводность недостаточно велика, например число Пекле $Re_L = 10$, то в некотором объеме на короткий интервал времени образуется лед. В варианте с формой импульса по времени (1.1) при $Q = 6.3, 9.5$ и 12.7 ($E_{in} = 2, 3$ и 4 мДж) в интервалы времени 0.415–1.11 мкс, 0.324–0.974 мкс и 0.284–0.416 мкс соответственно в центре пучка вблизи задней (по ходу излучения) кварцевой пластины вследствие сильного увеличения давления и уплотнения еще не разогретой воды происходит понижение температуры ниже точки замерзания и образование льда (внутренняя энергия становится отрицательной). Протяженность этой области по координатам z и r около $\Delta z \approx 0.460$ мкм и $\Delta r \approx 0.227$ мм ($t = 0.6$ мкс), $\Delta z \approx 0.611$ мкм и $\Delta r \approx 0.340$ мм ($t = 0.6$ мкс); $\Delta z \approx 0.458$ мкм и $\Delta r \approx 0.214$ мм ($t = 0.359$ мкс) при $Q = 6.3, 9.5$ и 12.7 ($E_{in} = 2.3$ и 4 мДж) соответственно.

Для варианта с формой импульса по времени (1.2) (эксперимент [1, 5]) получен следующий результат. При $Re_L = 10$ и параметре $Q = 6.3, 19$ и 25.3 ($E_{in} = 2, 6$ и 8 мДж) лед может образоваться (если турбулентные коэффициенты переноса, температуропроводности и теплопроводности в первую очередь принимают значения $\chi_0 = L^2/(\tau Re_L) = L^2/(10\tau)$, $k_0 = \rho_0 \chi_0 C_p$) в интервалы времени 1.44–1.77 мкс, 1.03–1.37 мкс, 0.960–1.3 мкс в областях с размерами, соответственно по z и по r : $\Delta z \approx 0.055$ мкм и $\Delta r \approx 0.286$ мм ($t = 1.68$ мкс), 0.22 мкм и 0.277 мм ($t = 1.2$ мкс), 0.153 мкм и 0.35 мм ($t = 1.2$ мкс). Заметим, что вначале лед образуется в центре, затем эта область расширяется и превращается в кольцевую, наконец исчезает при дальнейшем нагреве. Если зафиксировать экспериментально

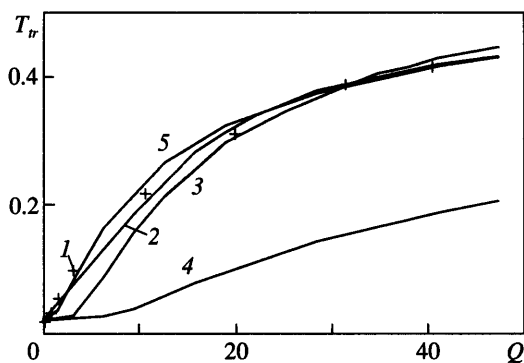


Фиг. 6. Связь интенсивности на выходе $I_{out}(r=0, z/L=1, t)/I_0$ с интенсивностью на входе в кювету с водой $I_{in}(r=0, z=0, t)/I_0$: параметр $Q = 9.5$ ($E_{in} = 3$ мДж, кривая 1), 19 (6 мДж, 2), 28.5 (9 мДж, 3), $Q = 41.14$ (13 мДж, 4). $T_{tr,0} = 0.02$, $Eu = 1.578$, $Re_L = 1$, форма импульса по времени (1.2), направление процесса – против часовой стрелки

наличие льда на тыловой кварцевой пластине при определенных условиях, можно будет оценить турбулентные коэффициенты переноса в области между пластинами. Это можно выполнить с помощью контрольного луча малой интенсивности (по сравнению с интенсивностью просветляющего пучка), который падает сбоку наклонно на облучаемый слой воды. Условия отражения 4-слойной системы (кварц, вода, лед, кварц) изменятся по сравнению с 3-слойной (кварц, вода, кварц), что будет зарегистрировано фотоприемником с коротким временем разрешения.

На фиг. 6 показаны фигуры Лиссажу для интенсивности I – зависимости интенсивности I_{out} на выходе из кюветы от интенсивности I_{in} на входе в кювету. Время выхода на максимальное значение интенсивности I_{out} составляет 1.93–1.71 мкс ($E_{in} = 3$ –13 мДж). Направление процесса – против хода часовой стрелки. Аналогичные фигуры, демонстрирующие гистерезис эффекта просветления, получены в эксперименте [5].

5. Сравнение с экспериментом. На фиг. 7 приведены экспериментальные данные I по пропусканию излучения гигантского импульса [1, 5] слоем воды. Теоретические зависимости $T_{tr}(Q)$, описываемые кривыми 2 и 3, получены в приближении оптически тонкого слоя (см. раздел 2) с формой импульса по времени (1.1) и (1.2) соответственно. Кривая 4 соответствует кольцевому распределению при $a_1 = 0.909$ (форма импульса по времени (1.1)). Зависимость 5 получена для двухмерного слоя (см. разд. 4) при $f(t)$ из (1.2). Отметим удовлетворительное соответствие теоретической кривой 5 экспериментальным данным во всем рассмотренном диапазоне энергии импульса. Приближение тонкого слоя, благодаря поправке $\phi(r, t)$, соответствует экспериментальным данным в широком диапазоне параметра теплоподвода $Q = 12.7$ –48 ($E_{in} = 4$ –15 мДж) с погрешностью менее 10% преимущественно с недостатком. Ранее в [8], не вводя поправку $\phi(r, t)$, получено соответствие экспериментальным данным с превышением на величину порядка 10% в диапазоне $Q = 0$ –16 ($E_{in} = 0$ –5 мДж). Улучшить соответствие теоретических результатов приближения тонкого слоя экспериментальным данным в этом диапазоне можно путем введения поправочного коэффициента $\phi(r, t) = \exp[-\alpha_0 \Delta z \rho(r, t)/\rho_0]$ в функции тепловыделения для учета затухания излучения в жидкости. Функцию $\rho(r, t)$ можно рассматривать как некоторую среднюю или эф-



Фиг. 7. Зависимость функции прозрачности T_{tr} от параметра тепловыделения Q при $T_{tr,0} = 0.02$, $Re_L = 1$: 1 – экспериментальные точки “+” ([5], фиг. 3, кривая 1); 2 – приближение тонкого слоя, $f(t)$ – по формуле (1.1); 3 – приближение тонкого слоя, $f(t)$ – по (1.2); 4 – кольцевое распределение, $a_1 = 0.909$, $f(t)$ – по (1.1); 5 – двумерное приближение, учет изменения интенсивности по глубине, $f(t)$ – по (1.2)

фективную плотность жидкости в слое, а величину Δz – как глубину слоя, на которой задаем эффективные источники тепла для всего слоя.

Приближение двумерного слоя (кривая 5), наиболее строгое и точное среди рассмотренных моделей просветления в некотором диапазоне $6 < Q < 28$ превышает экспериментальные данные. Это говорит о том, что при числе $Re_L = 1$ турбулентная теплопроводность завышена. Например, при $Re_L = 1$ получены следующие значения пропускания: $T_{tr} \approx 0.036, 0.18$ и 0.25 при $Q = 6.33, 18.9$ ($E_{in} = 2, 6$ мДж). Эти значения отличаются от экспериментальных [1, 5]. Удовлетворительное соответствие экспериментальным данным получено при $Re_L \approx 1.3$ и 2.5 ($Q = 6.33$ и 18.9 или $E_{in} = 2$ и 6 мДж соответственно).

Заключение. При нагреве тонкого слоя сильно поглощающей жидкости лазерным импульсом гидродинамический разлет и понижение плотности в области излучения объясняют эффект просветления, наблюдавшийся экспериментально. Кольцевое распределение интенсивности в отличие от гауссова дает снижение плотности и коэффициента поглощения в области, не совпадающей с максимумом интенсивности, вследствие чего эффект просветления уменьшается.

Форма импульса по времени с быстрым выходом на максимум (1.1) и гауссова форма (1.2) не влияют существенно на интегральную прозрачность среды. Приближение оптически тонкого слоя ($N_\alpha \ll 1$) дает удовлетворительное соответствие с экспериментальными данными при введении поправочного (на глубину затухания) множителя. Решение двумерной задачи нагрева слоя жидкости лазерным импульсом при увеличении теплопроводности за счет турбулентности (при $Re_L \sim 1$ против $Re_L \gg 1$ в исходной задаче без учета турбулентности) дает удовлетворительное соответствие с экспериментальными данными.

СПИСОК ЛИТЕРАТУРЫ

1. Водопьянов К.Л., Кулевский Л.А., Пашинин П.П., Прохоров А.М. Вода и этанол как просветляющие поглотители излучения в лазере на иттрий-эрбий-алюминиевом гранате ($\lambda = 2.94$ мкм) // ЖЭТФ. 1982. Т. 82. Вып. 6. С. 1820–1824.
2. Водопьянов К.Л., Кулевский Л.А., Михалевич В.Г., Родин А.М. Лазерная генерация звуковых импульсов субнаносекундной длительности в жидкостях // ЖЭТФ. 1986. Т. 91. Вып. 1(7). С. 114–121.

3. Андреева Л.И., Водопьянов К.Л., Кайдалов С.А., Калинин Ю.М., Карасев М.Е., Кулевский Л.А., Лукашев А.В. Пикосекундный лазер на гранате с эрбием ($\lambda = 2.94$ мкм) с активной синхронизацией мод // Квант. электроника. 1986. Т. 13. № 3. С. 499–509.
4. Водопьянов К.Л., Кулевский Л.А., Пашинин П.П., Умысков А.Ф., Щербаков И.А. Спектрально-ограниченные пикосекундные импульсы лазера на ИСГГ: Cr^{3+} , Er^{3+} ($\lambda = 2.79$ мкм) с активной синхронизацией мод // Квант. электроника. 1987. Т. 14. № 6. С. 1219–1224.
5. Водопьянов К.Л. Эффект просветления воды для интенсивного света в максимуме полосы поглощения ($\lambda \approx 3$ мкм) // ЖЭТФ. 1990. Т. 97. Вып. 1. С. 205–218.
6. Водопьянов К.Л., Кулевский Л.А., Лукашев А.В., Пашинин П.П. Изменение рефрактивных свойств воды под действием излучения эрбиевого лазера ($\lambda = 2.94$ мкм) // Квант. электроника. 2000. Т. 30. № 11. С. 975–978.
7. Долгаев С.И., Симакин А.В., Шафеев Г.А. Пропускание лазерного излучения поглощающими жидкостями // Квант. электроника. 2002. Т. 32. № 5. С. 443–446.
8. Кучеров А.Н. Гидродинамический механизм просветления сильно поглощающей жидкости лазерным импульсом // Докл. РАН. 2003. Т. 388. № 5. С. 616–619.
9. Черный Г.Г. Газовая динамика. М.: Наука, 1988. 424 с.
10. Лойцянский Л.Г. Механика жидкости и газа. М.: Наука, 1973. 847 с.
11. Белоцерковский О.М., Давыдов Ю.Д. Метод крупных частиц в газовой динамике. М.: Наука, 1982. 391 с.
12. Вукалович М.П., Ривкин С.Л., Александров А.А. Таблицы теплофизических свойств воды и водяного пара. М.: Изд.-во стандартов, 1969. 408 с.
13. Ривкин С.Л., Александров А.А., Кременевская Е.А. Термодинамические производные для воды и водяного пара. М.: Энергия, 1977. 263 с.
14. Ривкин С.Л., Александров А.А. Термодинамические свойства воды и водяного пара. М.: Энергоатомиздат, 1984. 80 с.
15. ГСССД 98–86. Вода. М.: Изд.-во стандартов, 1986. 33 с.
16. Ландау Л.Д., Лифшиц Е.М. Теоретическая физика. Т. 5. Статистическая физика. Ч.1. М.: Наука, 1976. 584 с.

Москва

Поступила в редакцию
23.X.2003